Рубан Сергей Владимирович

«Новые N,N- и N,S-кетенацетали 1-арилпиразол-5-онов. Синтез гетероциклических систем с пиразольным фрагментом»

Шифр специальности: 1.4.3 — органическая химия.

Химические науки

Шифр диссертационного совета: Д 24.1.092.01

Федеральное государственное бюджетное учреждение науки Институт органической химии им. Н.Д. Зелинского Российской академии наук

119991, Москва, Ленинский проспект, 47

Тел.: (499) 137-13-79

E-mail: sci-secr@ioc.ac.ru

Дата размещения полного текста диссертации на сайте Института http://zioc.ru 1 марта 2022 года

Дата приёма к защите

10 марта 2022 года

Дата размещения автореферата на сайте BAK https://vak.minobrnauki.gov.ru 14 марта 2022 года

Федеральное государственное бюджетное учреждение науки Институт органической химии им. Н.Д. Зелинского Российской академии наук (ИОХ РАН)

На правах рукописи

Рубан Сергей Владимирович

Новые *N,N*- и *N,S*-кетенацетали 1-арилпиразол-5-онов. Синтезы гетероциклических систем с пиразольным фрагментом

1.4.3 — органическая химия

АВТОРЕФЕРАТ диссертации на соискание учёной степени кандидата химических наук

Работа выполнена в Лабораториях органических лигандов №48 и карбоциклических соединений №10 Федерального государственного бюджетного учреждения науки Института органической химии им. Н.Д. Зелинского Российской академии наук (ИОХ РАН)

Научный руководитель: Баранин Сергей Викторович

доктор химических наук, ведущий научный сотрудник

лаборатории №10 ИОХ РАН

Официальные оппоненты: Фёдорова Ольга Анатольевна

доктор химических наук, профессор, заместитель директора по науке Института элементоорганических соединений им. А.Н. Несмеянова РАН (ИНЭОС РАН)

Грин Михаил Александрович

доктор химических наук, заведующий кафедрой химии и технологии биологически активных соединений, медицинской и органической химии Института тонких химических технологий им. М.В.

Ломоносова РТУ — МИРЭА

Ведущая организация: ФГБОУВО Российский химико-технологический

университет имени Д.И. Менделеева

Защита диссертации состоится « $\underline{18}$ » мая 2022 г. в $11^{\underline{00}}$ часов на заседании Диссертационного совета Д 24.1.092.01 в Федеральном государственном бюджетном учреждении науки Институте органической химии им. Н.Д. Зелинского РАН по адресу: 119991 Москва, Ленинский проспект, 47.

С диссертацией можно ознакомиться в библиотеке ИОХ РАН и на официальном сайте Института http://zioc.ru/. Автореферат размещён на официальном сайте Высшей аттестационной комиссии при министерстве науки и высшего образования Российской Федерации по адресу: http://vak.minobrnauki.gov.ru.

Автореферат разослан «<u>25</u>» марта 2022 г.

Ваш отзыв в двух экземплярах, заверенный гербовой печатью, просим направлять учёному секретарю Диссертационного совета ИОХ РАН по адресу: 119991 г. Москва, Ленинский проспект, 47.

Учёный секретарь Диссертационного совета Д 24.1.092.01 доктор химических наук

lasuels

ОБЩАЯ ХАРАКТЕРИСТИКА РАБОТЫ

Актуальность проблемы. В последние годы интерес к химии пиразола и его производных значительно возрос, поскольку соединения, содержащие пиразольный фрагмент, и комплексные соединения, где производные пиразола являются лигандами, обладают широким спектром биологической активности и используются в медицине и различных отраслях промышленности. В течение многих лет целый ряд фармацевтических препаратов на основе пиразола успешно применяется в медицинской антидепрессантов (фезоламин), практике В качестве: противовоспалительных средств (феназон, аминофеназон), средств для борьбы с подагрой (сульфинпиразон), ревматоидным артритом (фенилбутазон), ожирением (римонабант) и другими заболеваниями. За минувшие десятилетия опубликовано значительное количество работ, посвящённых синтезу новых производных пиразола и исследованию их биологической активности.

В связи с этим, поиск новых подходов и методологий конструирования соединений пиразола, в том числе конденсированных с другими фармакофорными азотсодержащими гетероциклами, с использованием простых и доступных реагентов продолжает оставаться актуальной задачей современной органической химии.

Кроме того, по-прежнему актуальны исследования превращений органических молекул, участвующих в координационном взаимодействии с соединениями переходных металлов и бора. Работы в этом направлении демонстрируют эффективную взаимосвязь координационной и органической химии, способствуют развитию методологии синтеза новых комплексных и гетероциклических соединений, а также позволяют вести направленный поиск веществ, обладающих ценными в практическом отношении свойствами.

В 1990—2007 гг. в Лаборатории органических лигандов ИОХ РАН под руководством проф. В.А. Дорохова был разработан удобный метод получения N-замещённых аминалей α , α -диоксокетенов, которые были использованы для конструирования ряда гетероциклических систем, включая пиримидины и пиридины, а также для получения хелатных комплексов с переходными металлами и бором. В настоящей работе, являющейся продолжением этих исследований, изучены синтез и превращения новых высокоэффективных реагентов ряда ендиаминов — незамещённых по атомам азота диаминометилиденовых производных пиразол-5-она.

Также предложен новый метод синтеза пирролидин-, пиперидин- и азепан-2-илиденовых производных 3-аминопиразол-5-она, основанный на применении борхелатной методологии.

<u>**Цель и задачи работы.**</u> 1) Разработка методов синтеза *N,N*- и *N,S*-кетенацеталей 1-арилпиразол-5-онов и изучение возможностей их применения в гетероциклическом синтезе. 2) Синтезы новых гетероциклических систем с пиразольным фрагментом.

<u>Научная новизна работы</u>. Впервые реализована реакция присоединения циклической метиленовой группы 1-арилпиразол-5-онов к нитрильной группе бензоилцианамида и метилтиоцианата, промотируемая ацетатом никеля.

На основе реакций синтезированных диаминометилиденовых производных 1-арилпиразол-5-она с диэлектрофилами разработаны эффективные методы получения новых функционализованных соединений ряда (имидазолидин-2-илиден)пиразол-5-она и 2-(пиразол-4-илиден)пиримидина.

Показано, что синтезированные незамещённые по атомам азота диаминометилиденовые производные 1-арилпиразол-5-она способны выступать в качестве бидентатных лигандов при комплексообразовании с бором.

Предложен новый строительный блок для конструирования пиразоло[4,3-c]пиридинов — *N,S*-кетенацеталь метил(5-оксопиразол-3-ил)ацетата, синтезированный из метил(5-оксопиразол-3-ил)ацетата и метилтиоцианата, и на его основе получены новые представители пиразоло[4,3-c]пиридин-3-онов и -3,6-дионов.

Разработан удобный метод синтеза пирролидин-, пиперидин- и азепан-2-илиденовых производных 3-аминопиразол-5-она из гидразида циануксусной кислоты и *О*-метиллактимов с применением «бор-хелатной» методологии.

Практическая значимость работы. Созданы новые схемы построения конденсированных бициклических систем, включающих пиразольное кольцо, с использованием новых реагентов и методологий. Разработана система простых и эффективных методов синтеза функционально замещённых производных (пиразол-4-илиден)пиримидинона, (имидазолидин-2-илиден)пиразолона. Показано, что диаминометилиденовые производные 1-арилпиразол-5-она могут быть использованы в качестве бидентатных лигандов в координационной химии.

<u>Личный вклад автора</u> состоял в систематизации, анализе и обобщении литературных данных, проведении синтезов, анализе составов реакционных смесей и

строения продуктов реакций (на основании данных ЯМР, ИК-спектроскопии, масс-спектрометрии), интерпретации экспериментальных данных, подготовке материалов к публикациям и представлении полученных результатов на конференциях.

Степень достоверности и апробация работы. Достоверность полученных результатов обеспечивается тем, что экспериментальные работы и аналитические исследования были выполнены на современном сертифицированном оборудовании, позволяющем получить надёжные данные. Состав и структура соединений, обсуждаемых в диссертационной работе, подтверждены данными ¹H, ¹³C, ¹¹B ЯМР-спектроскопии, элементных анализов, ИК-спектроскопии и масс-спектрометрии, в том числе высокого разрешения (HRMS). Использованы современные системы сбора и обработки научно-технической информации: электронные базы данных Reaxys (Elsevier), SciFinder (CAS), Web of Science (Thomson Reuters), а также полные тексты статей и книг.

Основные результаты работы были представлены в виде 3 тезисов докладов на международных конференциях: XVth Conference on Heterocycles in Bio-Organic Chemistry — 2013 (May 1–6, 2013, Riga, Latvia); International Congress on Heterocyclic Chemistry «KOST-2015» dedicated to 100 years anniversary of Professor Alexei Kost (October 18–23, 2015, Moscow, Russia); VII European Conference on Boron Chemistry (EUROBORON-7) (September 4–8, 2016, Suzdal, Russia).

<u>Публикации по теме работы</u>. По теме диссертации опубликовано 3 статьи в рецензируемых научных журналах, рекомендованных ВАК, а также 3 тезисов в сборниках докладов международных научных конференций (устных и стендовых).

Структура и объём работы. Диссертация изложена на 91 странице и состоит из введения, обзора литературы, обсуждения результатов, экспериментальной части, выводов и списка литературы. Список цитируемой литературы включает 85 наименований.

ОСНОВНОЕ СОДЕРЖАНИЕ РАБОТЫ

Обсуждению результатов диссертационного исследования предшествует обзор литературы, посвящённой методам синтеза гетероциклических N,S- и N,N- кетенацеталей, в котором проанализированы основные структурные характеристики соединений этого типа. Анализ литературы показал, что известные синтезы гетероциклических N,S- и N,N-кетенацеталей, как правило, многостадийны, требуют

использования токсичных реагентов (например, сероуглерода), а выходы целевых продуктов невысоки. Кроме того, зачастую кетенаминали являются побочными продуктами исследуемых реакций, а синтезы незамещённых по атомам азота гетероциклических ендиаминов представлены в литературе лишь единичными примерами.

1. Синтез кетенаминалей на основе 1-арилпиразол-5-онов

Ранее в лаборатории органических лигандов ИОХ РАН было найдено, что β -дикарбонильные соединения (ДКС) — β -дикетоны, β -кетоэфиры, а также β -кетосульфоны — в присутствии каталитических или стехиометрических количеств солей или комплексов никеля присоединяются к тройной связи С \equiv N активированных нитрилов. Было установлено, что реакция протекает через стадию образования хелатных комплексов никеля с ДКС. Продукты этих реакций — N,N-аминали или N,S-ацетали диоксокетенов — в дальнейшем зарекомендовали себя как удобные строительные блоки для получения азотсодержащих гетероциклов, труднодоступных другими методами. Позднее данный подход был успешно применён к циклическим β -дикетонам, таким как димедон, 1,3-циклогександион и барбитуровая кислота, которые не способны выступать в качестве хелатообразующих лигандов. В этом случае, реакции, по-видимому, протекают через промежуточное образование никелевых производных енольной формы циклического ДКС.

Однако подобные превращения с участием гетероциклических монокарбонильных соединений до нашей работы не были известны. Для изучения взаимодействия последних с активированными нитрилами в качестве субстратов были выбраны 3-замещённые 1-арилпиразол-5-оны — легкодоступные монокарбонильные гетероциклические соединения с циклической метиленовой группой.

Мы нашли, что пиразолоны **1а-с** присоединяются к связи С≡N бензоилцианамида в присутствии стехиометрических количеств ацетата никеля при кипячении в ДМФА, приводя к образованию хелатных комплексов **2а-с**, которые при обработке этанольным раствором НСl разрушаются, выделяя свободные лиганды — *N*-бензоилзамещённые кетенаминали **3а-с**, новые представители кетенаминалей гетероциклического ряда (схема 1). Хелатные комплексы **2а-с** были выделены и охарактеризованы ИК-спектрами (КВг), элементным анализом и температурами

плавления, поскольку крайне низкая растворимость не позволила получить их ЯМР 1 Н или масс-спектры.

В отсутствие ацетата никеля реакция не идёт. Также оказалось, что при использовании вместо ацетата никеля каталитических или стехиометрических количеств ацетилацетоната никеля не удаётся выделить соединения 3a-c или какиелибо идентифицируемые продукты из-за осмоления реакционной смеси. Повидимому, как и в случае циклических β -дикетонов, реакция протекает через промежуточное образование соответствующих енолятов никеля.

Кетенаминали **3а-с** легко дебензоилируются в присутствии MeONa и дают незамещённые по атомам азота диаминометилиденовые производные 1-арилпиразол-5-она **4a-c** (схема 2).

Масс-спектры соединений **4а-с** содержат пики молекулярных ионов. В их спектрах ЯМР 1 Н наблюдаются сигналы протонов NH_{2} -групп в области 7.5–8.0 м.д., а в спектрах ЯМР 13 С — сигналы атомов углерода кетенового фрагмента при 86 м.д. и 159 м.д.

Далее было установлено, что пиразолоны **1а-с** также способны присоединяться к связи C≡N метилтиоцианата в присутствии стехиометрических количеств ацетата никеля, но в более мягких условиях: при кипячении в метаноле (схема 3).

Как и в случае присоединения пиразолонов **1а-с** или циклических β -дикетонов к *N,S*-кетенацеталей бензоилцианамиду, образование 6a-c происходит промежуточные хелатные комплексы 5, которые при кипячении с HCl разрушаются с выделением свободных лигандов 6а-с с выходами 42-73%. В спектрах ЯМР ¹Н кетенов **6а-с** наблюдаются сигналы протонов групп SMe, а также уширенные сигналы неэквивалентных протонов групп NH₂. Спектры ЯМР ¹Н каждого из соединений **6а-с** характеризуются одним набором сигналов, что свидетельствует о наличии лишь одного изомера. Вероятно, более предпочтительно образование Е-изомера за счёт его водородной стабилизации внутримолекулярной связью между аминной карбонильной группами.

Однако оказалось, что взаимодействие бензоилцианамида с другим легкодоступным 3-замещённым пиразол-5-оном — метил(5-оксо-1-фенилпиразол-3-ил)ацетатом (7) в условиях реакций пиразолонов 1а-с с бензоилцианамидом, представленных на схеме 1, не приводит к образованию соответствующего *N*-бензоилзамещённого кетенаминаля 8 (схема 4). Использование вместо ацетата никеля другого промотора (ацетилацетонат никеля), варьирование растворителя (ВиОН, TolH, MeCN, EtOH) и температуры реакции также не привело к ожидаемому результату: происходило либо осмоление реакционной смеси, вероятно, связанное с активированием нециклической метиленовой группы, либо выделяли исходный пиразолон 7.

Схема 4

MeOOC COOMe AcONa AcOH,
$$\Delta$$

PhOMHON NINO PhOMHCN
NINO PH

Тем не менее, мы нашли, что в присутствии стехиометрических количеств ацетата никеля и при кипячении в метаноле пиразолон 7 присоединяется по связи $C\equiv N$ метилтиоцианата (схема 5). В результате последующей обработки реакционной смеси метанольным раствором HCl с выходом 59% был выделен аддукт 10 — новый представитель N,S-кетенацеталей гетероциклического ряда.

COOMe
N, NO MeSCN, Ni(OAc)₂
MeOOC MeS H
N, NO MeOOC MeS NH₂
Ni HCl
N, NO MeOH,
$$\Delta$$

7
9
10

Важно отметить, что в реакции участвует исключительно циклическая метиленовая группа пиразолона 7, а в отсутствие ацетата никеля реакция не идёт. В спектре ЯМР ¹Н соединения 10 наблюдаются сигналы протонов нециклической метиленовой группы (3.81 м.д.), групп SMe и NH₂, а сигнал протонов циклической метиленовой группы отсутствует. Как и в случае кетенов 6а-с в спектре ЯМР ¹Н соединения 10 наблюдается один набор сигналов.

Образование N,S-кетенацеталя **10** протекает через образование промежуточного хелатного комплекса **9**, который был выделен с выходом 92% в виде тугоплавкого серого порошка (т.пл. 235–237°C с разл.). Крайне низкая растворимость не позволяет получить его спектр ЯМР 1 Н. В ИК-спектре хелата **9** наблюдается узкая полоса

поглощения при 3374 см $^{-1}$ (NH) и полосы поглощения при 1740 см $^{-1}$ (C=O) и 1590–1565 см $^{-1}$ (NC=O). Данные элементного анализа также соответствуют структуре 9.

Из литературных данных известно, что метилтиогруппа N,S-ацеталей способна замещаться на аминогруппу при действии первичных или вторичных аминов. Действительно, мы установили, что обработка N,S-ацеталя 10 или 6a первичными аминами приводит к образованию новых N,N-кетенаминалей 11a-d (схема 6). Реакция протекает в кипящем толуоле и сопровождается выделением метилмеркаптана. При более низких температурах реакция не идёт: даже после 12 часов кипячения смеси реагентов в бензоле из реакционной смеси был выделен исходный N,S-ацеталь 10 или 6a.

В спектрах ЯМР ¹Н кетенаминалей **11а-с** наблюдаются сигналы протонов метоксильной группы (для соединения **11d** — метильной группы), неэквивалентных протонов аминогруппы и заместителей первичного амина, а сигналы протонов метилтиогруппы отсутствуют. Кроме того, двойной набор сигналов в спектрах соединений **11a-d** свидетельствует об образовании смеси *E*- и *Z*-изомеров в приблизительно равном соотношении.

2. Химические свойства кетенаминалей пиразолонов и применение в синтезе гетероциклов

Расположение амино- и карбонильной групп в производных пиразол-5-она **4а-с** позволяет их рассматривать в качестве бидентатных хелатирующих лигандов, представляющих интерес для координационной химии. Способность к хелатообразованию соединений **4а-с** мы продемонстрировали на примере

взаимодействия пиразолона **4a** с метоксидифенилбораном, в результате которого в мягких условиях был синтезирован дифенилборный хелатный комплекс **12a** (схема 7).

В масс-спектре комплекса **12а** присутствует пик иона [M-Ph]⁺, характерный для дифенилборных хелатов, а в спектре ЯМР ¹¹В наблюдается сигнал в области 4 м.д., соответствующий четырёхкоординированному атому бора.

Далее мы исследовали возможность использования полученных гетероциклических кетенаминалей **4а-с** в реакциях циклоконденсации в качестве *N,N*-динуклеофилов для построения новых бигетероциклических систем, содержащих пиразольный фрагмент. Однако оказалось, что кипячение смеси производного **4a** с диэтилоксалатом (биэлектрофильный реагент) в толуоле приводит лишь к продукту монозамещения **13a**. Получить ожидаемый имидазол **14a** не удалось даже после продолжительного кипячения реагентов в бутаноле в присутствии бутилата натрия (схема 8).

Также оказалось, что кетенаминаль **4a** не реагирует с диэтилмалонатом: в результате длительного кипячения раствора соединения **4a** в диэтилмалонате из реакционной смеси были выделены исходные соединения в неизменном виде.

По-видимому, диэтилоксалат и диэтилмалонат не обладают достаточной электрофильностью для взаимодействия ендиаминовым фрагментом аминалей **4**. С другой стороны, ендиамины **4a-с** представляют собой «пуш-пульную» систему, в которой нуклеофильность аминогрупп может быть понижена. И действительно, мы установили, что при длительном кипячении соединения **4a** даже с 10-кратным избытком уксусного ангидрида в толуоле образуется только монозамещённое *N*-ацетильное производное **16a** с выходом 90% (схема 9). Замещение по обеим аминогруппам ендиамина **4a** удалось реализовать лишь при действии ангидрида хлоруксусной кислоты. Выход продукта дизамещения **17a** составил 40%.

Схема 9

Me NH

$$Ac_2O$$
 $TolH$, Δ , $2h$
 Ac_2O
 A

Тем не менее мы нашли, что реакция соединений **4a-с** с дибензоилом приводит к образованию имидазолов **18a-с** с выходами 33–61% (схема 10). Особенность данной реакции заключается в том, что она сопровождается бензильной перегруппировкой, приводящей к образованию имидазольного цикла с двумя фенильными заместителями в положении 5. Следует отметить, что при более низких температурах или при использовании таких органических растворителей, как этанол или 2-пропанол, реакция не идёт, исходные соединения были выделены в неизменном виде.

Спектры ЯМР 1 Н бициклов **18а-с** характеризуются наличием сигналов протонов фенильных заместителей имидазольного цикла и уширенных сигналов протонов NH-групп (10 и 12 м.д.). В спектрах ЯМР 13 С присутствуют сигналы атомов углерода фенильных заместителей, поляризованной двойной связи (86 м.д. и 155 м.д.) и карбонильной группы имидазольного цикла (174 м.д.). Кроме того, как в спектрах ЯМР 1 Н, так и 13 С наблюдается по одному набору сигналов, хотя для этих соединений возможно наличие E- и E-изомеров. Однако сделать однозначный выбор в пользу одной из структур на основании полученных спектральных данных затруднительно.

Далее было установлено, что взаимодействие соединений **4а-с** с ацетоуксусным эфиром протекает достаточно гладко в тех же условиях, что и реакции с дибензоилом. Так, кипячение смеси реагентов в бутаноле в присутствии BuONa и последующая обработка реакционной смеси HCl приводят к образованию соответствующих производных пиразолиденпиримидинонов **19а-с** с выходами от 31 до 57% (схема 11).

Наличие пиримидинового цикла в соединениях **19а-с** подтверждено спектрами ЯМР ¹Н которые характеризуются, наряду с сигналами протонов метила пиразолонового фрагмента в области 2.3–2.4 м.д., появлением синглета протонов

метильной группы (2.46–2.49 м.д.) и протона H(5) (~ 6.00 м.д.) пиримидинового цикла, а также спектром ЯМР 13 С пиримидинона **19b**.

Было найдено, что реакции кетенаминалей **4а-с** с диэтилэтоксиметиленмалонатом и метоксиметиленмалононитрилом протекают в более мягких условиях — при кипячении смеси реагентов в этаноле в присутствии EtONa. В результате были синтезированы соответствующие новые функционализированные пиразолиденпиримидины **20** и **21** с выходами 48–69% (схема 12).

CXEMA 12

HN COOEt

Me

COOEt

NH2

NH2

NH2

Me

CEN

Me

NH2

1. EtONa, EtOH,
$$\Delta$$
2. HCI

a: R = H
b: R = CI
c: R = Me

20a-c

CEN

Me

CEN

NH2

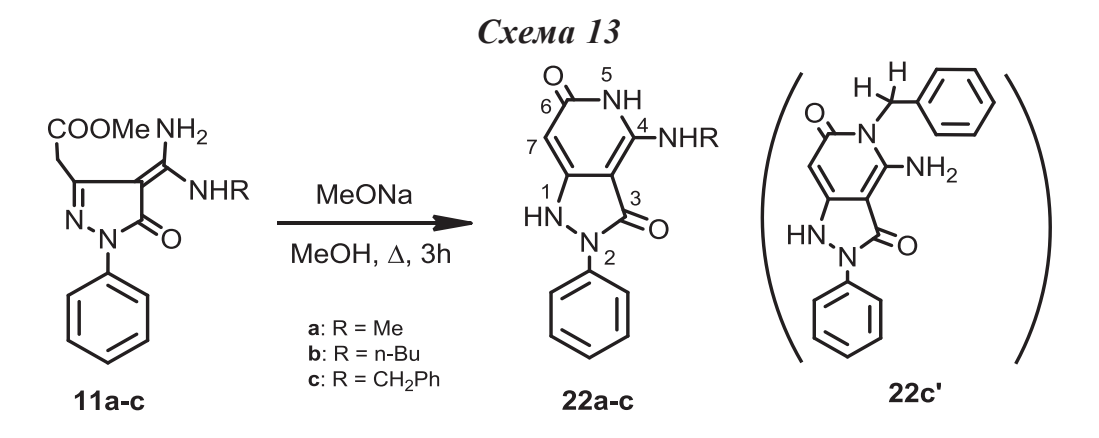
1. EtONa, EtOH, Δ
2. HCI

2. HCI

21a

Спектры ЯМР ¹Н соединений **20а-с** характеризуются сигналами протонов этоксильной группы и протонов H(6) пиримидинового цикла (8.3–8.5 м.д.), а спектр соединения **21а** — сигналами протонов аминогрупп и протона H(6) пиримидинового кольца (8.64 м.д.). В спектре ЯМР ¹³С соединения **20с** присутствуют сигналы атомов углерода кетенового фрагмента (90 и 157 м.д.), пиримидинового кольца и карбонила сложноэфирной группы (163 м.д.). В спектре ЯМР ¹³С соединения **21а** также наблюдаются сигналы атомов углерода кетенового фрагмента (93 и 155 м.д.), пиримидинового кольца и нитрильной группы (114 м.д.).

Наличие в молекулах эфиров **10** и **11а-с** вицинально расположенных метоксикарбонильной и аминогруппы благоприятно для аннелирования второго цикла с образованием новых производных пиразоло[4,3-*c*]пиридоновой системы. Так, в результате кипячения кетенаминалей **11а-с** в метанольном растворе метилата натрия были синтезированы с выходами 42–60% ранее неописанные пиразоло[4,3-*c*]пиридин-3,6-дионы **22а-с** (схема 13).



Данные ЯМР ¹Н спектроскопии подтверждают, что циклизация происходит с участием незамещённой аминогруппы. В спектре соединения **22c** (R = CH₂Ph) присутствует дублет (4.58 м.д., КССВ 5.7 Гц) протонов метиленовой группы бензильного заместителя, что указывает на наличие протона группы NH. В случае участия в циклизации замещённой аминогруппы и образования альтернативной структуры **22c'**, сигнал протонов метиленовой группы проявился бы в виде синглета. Также спектры бициклов **22a-c** характеризуются наличием сигналов протонов H(7) в области 6.0–7.6 м.д. и уширенных сигналов протонов NH-групп пиридонового и пиразольного циклов.

Другой путь гетероциклизации соединений **11**, позволяющий сохранить сложноэфирную функцию, включает конденсацию последних с диметилацеталем диметилформамида (ДМА ДМФА), протекающую в кипящем бензоле, и последующую обработку продуктов реакции **23** метанольным раствором метилата натрия (схема 14).

В результате с выходами 48-63% нами впервые были получены метиловые эфиры пиразоло[4,3-c] пиридин-7-карбоновой кислоты **24a-c**.

MeOOC
$$NH_2$$
 $MeOOC$ NH_2 NH_2 $MeOOC$ NH_2

Следует отметить, что присоединение ДМА ДМФА происходит по метиленовой, а не аминной группе *N*,*N*-кетенацеталей **11a-c**. Это подтверждается тем, что в спектре ЯМР ¹Н специально выделенного промежуточно образующегося соединения **23b** — продукта конденсации аминаля **11b** с ДМА ДМФА — отсутствует сигнал протонов метиленовой группы, но сохраняются сигналы протонов аминогрупп.

Спектры ЯМР ¹Н пиразолопиридинов **24а-с** характеризуются сигналами протонов метоксильной группы (3.3–3.9 м.д.), протона Н(6) пиридинового цикла (8.3–8.7 м.д.) и протонов группы NH пиразольного цикла (10.96–11.56 м.д.).

Аналогичные схемы гетероциклизации оказались эффективными для синтеза 4-метилтиозамещённых пиразоло[4,3-*c*]пиридин-3,6-дионов и -3-онов из *N*,*S*-ацеталя 10. Так, в результате кипячения эфира 10 в метанольном растворе метилата натрия с выходом 32% был получен пиразолопиридин 25 (схема 15).

CXEMA 15

COOME NH2

MeONa

MeOH,
$$\Delta$$
, 3h

MeOH, Δ , 3h

MeOH, Δ , 3h

Спектр ЯМР ¹Н бицикла **25** характеризуется наличием сигнала протонов группы SMe (2.52 м.д.), протона H(7) бициклической системы (6.02 м.д.) и двумя уширенными сигналами протонов NH-групп пиразольного и пиридинового фрагментов (9.22 и 11.08 м.д.).

Взаимодействие тиоацеталя **10** с ДМА ДМФА в кипящем бензоле приводит к аддукту **26** (схема 16), который в присутствии метилата натрия циклизуется в пиразоло[4,3-c]пиридин-3-он **27** с выходом 52% (схема 16).

COOMe
$$NH_2$$

NMe₂

NH₂

NH₂

NH₂

NH₂

NHOOC

NHOON

NNO

PhH, Δ

MeONa

MeOH, Δ

NHOON

NNO

PhH, Δ

26

27

В спектре ЯМР ¹Н бицикла **27** присутствуют сигналы протонов групп MeS (2.65 м.д.) и MeO (3.91 м.д.), а также сигнал протона H(6) бициклической системы (8.56 м.д.) и уширенный сигнал протона NH-группы пиразольного цикла (11.98 м.д.).

3. Синтез илиденовых производных пиразола с применением бор-хелатной методологии

Эффективность применения хелатных комплексов бора в синтезе новых гетероциклических систем с пиразольным фрагментом продемонстрирована на примере разработанного нами метода синтеза пирролидин-, пиперидин- и азепан-2-илиденовых производных 3-аминопиразол-5-она из дифенилборного хелата гидразида циануксусной кислоты (ЦУК) и *О*-метиллактимов.

В молекуле гидразида ЦУК (28) присутствуют как гидразидная функция с первичной аминогруппой, так и активированная метиленовая группа. Известно, что конденсация лактимных эфиров с соединениями, имеющими активированную метиленовую группу, протекает, как правило, с образованием енаминов, а с соединениями, содержащими первичную аминогруппу — с образованием амидинов. При этом в случае соединений, имеющих и метиленовую, и аминогруппу, направление конденсации зависит от размера цикла используемого лактимного эфира.

ранее было результате взаимодействия Так, известно, что В метилбутиролактима (29a)c гидразидом ЦУК получался пирролидин-2илиденпиразолон 30а, суммарный выход которого составлял 36% (схема 17).

Напротив, реакция *О*-метилвалеро- (**29b**) или *О*-метилкапролактима (**29c**) с гидразидом ЦУК приводит к образованию полиметилентриазолов **31b,c** с выходами 77% и 89% соответственно, что свидетельствует о том, что лактимные эфиры **29b,c** конденсируются по первичной аминогруппе гидразида ЦУК.

С целью исключения конденсации лактимных эфиров по аминогруппе гидразида **28** мы провели реакцию последнего с ДМА ДМФА. Было установлено, что взаимодействие гидразида **28** с ДМА ДМФА в зависимости от соотношения реагентов приводит к соединениям **32** или **33** (схема 18). Последнее получено также при действии на соединение **32** эквимольного количества ДМА ДМФА.

Следует отметить, что в спектре ЯМР 1 Н гидразона **32** наблюдается двойной набор сигналов, свидетельствующий о наличии E,Z-изомеров в соотношении $\sim 1:1$.

Однако оказалось, что соединение **32** не вступает в реакцию с лактимными эфирами **29а-с** (схема 19). Даже после длительного нагревания (5–6 ч) из реакционной смеси выделяются только исходные вещества, что, по-видимому, обусловлено недостаточной активностью метиленового звена гидразона **32** для конденсации с лактимными эфирами.

$$Cxema\ 19$$
 $NC \longrightarrow O$
 NMe_2
 A , $6h$
 $NC \longrightarrow O$
 NMe_2
 A , $6h$
 NMe_2

Тогда для активирования метиленовой группы гидразида **28** мы применили подход, основанный на использовании его дифенилборного хелатного комплекса (**34**), который легко получается при действии бутилового эфира дифенилборной кислоты на соединение **28** (схема **20**). Подобный приём, основанный на активации в молекулах свободных лигандов как традиционных, так и нехарактерных реакционных центров в результате хелатообразования, ранее успешно применялся в синтезах различных гетероциклических соединений.

В масс-спектре хелата **34** присутствует характерный для дифенильных комплексов бора пик иона $[M-Ph]^+$, а сигнал атома бора в спектре $\mathit{ЯMP}^{11}B$ находится в сильном поле (7.43 м.д.) и соответствует четырёхкоординированному атому бора. Сигнал протонов CH_2 -группы в спектре $\mathit{ЯMP}^{-1}H$ комплекса **34** смещён в область слабых полей (4.11 м.д.), а в его $\mathit{ИK}$ -спектре наблюдается полоса поглощения несопряжённой группы $C\equiv N$ (2268 см⁻¹).

При попытке получить *N*-замещённый хелат **36**, было найдено, что комплекс **34** реагирует даже с незначительным избытком ДМА ДМФА с образованием нового хелата **35** уже при комнатной температуре. При этом в реакции участвуют одновременно как аминная, так и метиленовая группы комплекса, а хелатный цикл сохраняется (схема 21).

Выделить продукт реакции соединения **34** с одним эквивалентом ДМА ДМФА не удалось: даже при использовании избытка комплекса **34** единственным продуктом реакции является соединение **35**. Его строение подтверждено физико-химическими методами. Так, в спектре ЯМР ¹Н присутствуют уширенные синглеты четырёх метильных групп и сигналы протонов двух фрагментов -СН=. ИК-спектр комплекса **35** характеризуется полосой поглощения сопряжённой группы С≡N (2204 см⁻¹). Очевидно, что лигандом в хелатном комплекса **35** является соединение **33**. Это было подтверждено встречным синтезом комплекса **35** из лиганда **33**.

Замещённый только по аминогруппе борный комплекс **36** удалось получить из лиганда **32** путём его обработки бутиловым эфиром дифенилборной кислоты (схема **22**). В спектре ЯМР ¹Н комплекса **36** наблюдаются сигнал свободной метиленовой группы (4.03 м.д.) и два синглета протонов групп NMe₂ (3.11 и 3.48 м.д.).

Далее было найдено, что при нагревании в толуоле комплекс **36** гладко реагирует с лактимными эфирами с образованием новых енаминов **37а-с**, при этом хелатный цикл сохраняется (схема **23**).

Деборирование комплексов **37а-с** происходит при их кипячении в бутанольном растворе HCl и сопровождается внутримолекулярной циклизацией с участием цианогруппы, в результате чего образуются производные **3-**аминопиразол-**5-**она **30а-с** (n = 1-3).

В спектрах ЯМР 1 Н соединений **30а-с** наблюдаются мультиплеты протонов циклических CH_{2} -групп (1.50–3.51 м.д.), уширенные сигналы протонов NH_{2} -группы (4.54–4.50 м.д.) и два сигнала протонов циклических NH-групп (9.80–9.86 м.д. и 11.22–11.15 м.д.). Их масс-спектры характеризуются наличием пиков молекулярных ионов $[M]^{+}$. Пиразолон **30a** (n = 1) по всем параметрам идентичен описанному ранее в литературе.

Испытания на биологическую активность

Исследования антивирусного и антибактериального действия ряда синтезированных в работе соединений — производных пиразола, было проведено во Всероссийском научно-исследовательском институте ветеринарной вирусологии и микробиологии Россельхозакадемии (г. Покров).

В результате испытаний было установлено, что пиразолиденпиримидинон **19b** и пиразоло[4,3-*c*]пиридиндион **25** обладают выраженным вирулицидным действием в отношении вируса миксомы кроликов в концентрации 500 мкг/мл. У соединения **19b** была обнаружена умеренная бактериостатическая активность в отношении возбудителей колибактериоза и стафилококкоза при концентрации 1.25 мг/мл.

ВЫВОДЫ

- 1. Впервые получены незамещённые по атомам азота диамино- и амино(метилтио)метилиденовые производные 1-арилпиразол-5-она.
- 2. Установлено, что присоединение циклической метиленовой группы пиразольного цикла к активированным нитрилам, промотируемое ацетатом никеля, происходит через образование промежуточных хелатных комплексов никеля, лигандами в которых являются соответствующие диамино- или амино(метилтио)метилиденовые производные пиразол-5-она.

- 3. Разработаны методы синтеза новых производных имидазолидин-2-илиденпиразол-5-она и функционализованных 2-(пиразол-4-илиден)пиримидинов на основе реакций незамещённых по атомам азота кетенаминалей 1-арилпиразол-5-она с 1,3-диэлектофилами.
- 4. Впервые синтезированный N.S-кетенацеталь метил(5-оксопиразол-3удобного строительного блока ил)ацетата использован качестве функционализованных пиразоло[4,3конструирования производных новых с пиридиновой системы, представляющих интерес для биологического скрининга.
- 5. Разработан эффективный метод синтеза пирролидин-, пиперидин- и азепан-2-илиденовых производных 3-аминопиразол-5-она из лактимных эфиров и гидразида циануксусной кислоты с применением бор-хелатной методологии.

Основные результаты работы изложены в следующих публикациях:

- 1. Диаминометилиденовые производные пиразол-5-она как реагенты для синтеза гетероциклических соединений и новые хелатирующие лиганды / **С.В. Рубан**, М.А. Презент, С.В. Баранин, В.А. Дорохов // *Известия АН. Сер. хим.* 2013. № 10. С. 2191–2195.
- 2. Хелатный синтез илиденовых производных пиразола из гидразида цианоуксусной кислоты и О-метиллактимов. / **С.В. Рубан**, Т.В. Потапова, С.В. Баранин, В.А. Дорохов // *Известия АН*. *Сер. хим*. 2014. № 10. С. 2260–2263.
- 3. N,S-Кетенацеталь метил(5-оксопиразол-3-ил)ацетата новый строительный блок для конструирования пиразоло[4,3-c]пиридинов / М.А. Презент, С.В. Рубан, С.В. Баранин, Ю.Н. Бубнов // Известия АН. Сер. хим. 2016. № 4. С. 1004—1007.
- 4. Synthesis of new functionalized pyrazol-5-one derivatives / **S.V. Ruban**, S.V. Baranin, V.A. Dorokhov // Book of Abstracts of XVth International Conference «Heterocycles in Bio-Organic Chemistry» Riga, Latvia. 2013. P. 116.
- 5. Construction of pyrazolo[4,3-c]pyridine system based on amino(methylthio)methylidene pyrazole compounds / S.V. Baranin, **S.V. Ruban** // Book of Abstracts of International Congress on Heterocyclic Chemistry «KOST-2015» dedicated to 100 years anniversary of Professor Alexei Kost, Moscow, Russia. 2015. P. 273.
- 6. Boron chelate-assisted synthesis of new pyrazolidene derivatives from cyanoacetic acid hydrazide and *O*-methyl lactimes / S. Baranin, **S. Ruban**, T. Potapova, Yu. Bubnov // Book of Abstracts of VII European Conference on Boron Chemistry (EUROBORON-7) Suzdal, Russia. 2016. P. 96.